

1. はじめに

直線ばりのたわみ振動の解析において、せん断変形と回転慣性を考慮しない場合には、その解としての振動波のうちの短波長波は無限大の波速で伝播するという欠陥をもち、衝撃的攪乱に対する動的応答のように Time delay が意味をもつような問題には満足な解は得られない。このように波動伝播の立場から解析を要する問題ならびにざんぐりしたばりの振動問題は、せん断変形と回転慣性をともに考慮したいわゆる“Timoshenko Beam”としての取り扱いが要求されることは周知のとおりである。

Aggarwal & Cranch¹⁾は断面の反り剛性が意味をもつ I および C 断面ばりのねじれ振動に対して、上記の Timoshenko Beam Theory を拡張し、断面の反りに伴うせん断変形および回転慣性を考慮した解析を行ない、振動波長と Phase Velocity との関係を求め、短波長の波動は曲げ振動の場合と同様に 2 つの波列が一定速度で伝播することを示した。

著者は一定曲率の薄肉ばりの曲げとねじれの連成振動を上述のような Timoshenko Beam として解析し、曲率を有するばりの曲げねじれ振動波の伝播特性を究明することを試みた。ここには I 型断面ばりの場合の解析結果の概略を述べる。

2. 振動方程式

図-1 に示すような諸元をもつ I 断面の曲りばりが曲率面外への曲げとねじれの連成振動を行なうとき、系全体のポテンシャルエネルギーを計算する。

まず、歪エネルギー V_1 は全断面の x 軸まわりの曲げに伴うせん断歪分およびねじれによる断面の反り（フランジの x 軸まわりの曲げ）に伴うせん断歪分をも考慮すると

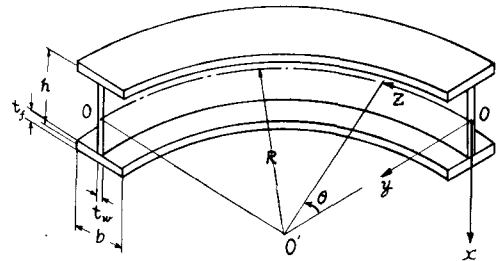


図-1 I 断面曲りばりの一般図

$$V_1 = \frac{1}{2} \int_0^L \left\{ E J_y \left(\frac{\partial \psi_x}{\partial z} + \frac{\varphi}{R} \right)^2 + \kappa_1 G A \left(\frac{\partial u}{\partial z} - \psi_y \right)^2 + G J_x \left(\frac{\partial \varphi}{\partial z} - \frac{\psi_z}{R} \right)^2 + 2 E J_z \left(\frac{\partial \psi_z}{\partial z} \right)^2 + 2 \kappa_2 G A_f \left(\frac{h}{2} \frac{\partial \varphi}{\partial z} - \psi_z \right)^2 \right\} dz \dots (1)$$

ここに、 u = 中心軸の x 軸方向へのたわみ； φ = 断面のねじれ回転角； ψ_x = 中立軸における断面の法線の y 軸まわりの回転角； ψ_z = フランジ断面の中立軸における法線の x 軸まわりの回転角； A , J_y , J_x = それぞれ I 断面の断面積， y 軸まわりの断面 2 次モーメント，ねじり定数； A_f , J_z = それぞれフランジ断面の断面積， x 軸まわりの断面 2 次モーメント； κ_1 = I 断面の x 軸方向のせん断係数； κ_2 = フランジ 1 枚の y 軸方向のせん断係数； L = ばりの全長。

つぎに、系の全運動エネルギー V_2 は

$$V_2 = \frac{1}{2} \int_0^L \rho \left\{ A \left(\frac{\partial u}{\partial t} \right)^2 + J_y \left(\frac{\partial \psi_x}{\partial t} \right)^2 + J_z \left(\frac{\partial \varphi}{\partial t} \right)^2 + 2 J_z \left(\frac{\partial \psi_z}{\partial t} \right)^2 \right\} dz \dots (2)$$

ここに、 ρ = 材料の単位体積当りの質量； J_z = I 断面の極 2 次モーメント。

結局、系の全ポテンシャルエネルギー V は $V = V_1 + V_2$ で与えられ、 $\delta V = 0$ より変分問題のオイラーの微分方程式として、I 断面曲りばりの曲げおよび反りに伴うせん断変形と回転慣性を

考慮した曲率面外への曲げとねじれの連成振動の方程式がつぎのように得られる。

$$\begin{pmatrix} -\frac{\partial^2}{\partial z^2} + \frac{p}{G} \frac{\partial^2}{\partial t^2} & \kappa_1 \frac{\partial}{\partial z} & 0 & 0 \\ \frac{\kappa_1 \alpha_1}{h^2} \frac{\partial}{\partial z} & \frac{E}{G} \frac{\partial^2}{\partial z^2} - \left(\frac{\kappa_1 \alpha_1}{h^2} + \frac{\alpha_2}{R^2} \right) - \frac{p}{G} \frac{\partial^2}{\partial t^2} & \frac{1}{R} \left(\frac{E}{G} + \alpha_2 \right) \frac{\partial}{\partial z} & 0 \\ 0 & \frac{1}{R} \left(\frac{E}{G} \beta_1 + \beta_3 \right) \frac{\partial}{\partial z} & -(\beta_3 + \frac{\kappa_2 \beta_2}{2}) \frac{\partial^2}{\partial z^2} + \frac{E}{G} \frac{\beta_1}{R^2} + \frac{p}{G} \frac{\partial^2}{\partial t^2} & \frac{\kappa_2 \beta_2}{h} \frac{\partial}{\partial z} \\ 0 & 0 & \frac{\kappa_2 \gamma}{2h} \frac{\partial}{\partial z} & \frac{E}{G} \frac{\partial^2}{\partial z^2} - \frac{\kappa_2 \gamma}{h^2} - \frac{p}{G} \frac{\partial^2}{\partial t^2} \end{pmatrix} \begin{pmatrix} u \\ \psi_y \\ \varphi \\ \psi_x \end{pmatrix} = 0 \quad \dots (3)$$

ニに、つぎのような断面定数に関する無次元パラメータが導入された；

$$\alpha_1 = Ah^2/J_y, \quad \alpha_2 = J_r/J_y, \quad \beta_1 = J_y/J_z, \quad \beta_2 = A_r h^2/J_z, \quad \gamma = Ah^2/J_f$$

3. 曲げねじれ振動波の解析

Phase Velocity c_p で伝播する正弦波を考える。すなわち波長を λ とすると

$$u = C_1 e^{\frac{2\pi i}{\lambda}(z - c_p t)}, \quad \psi_y = C_2 e^{\frac{2\pi i}{\lambda}(z - c_p t)}, \quad \varphi = C_3 e^{\frac{2\pi i}{\lambda}(z - c_p t)}, \quad \psi_x = C_4 e^{\frac{2\pi i}{\lambda}(z - c_p t)} \dots (4)$$

式(3)に式(4)を代入し、固有値問題として波速 c_p を定める振動数方程式を求めると

$$\begin{vmatrix} \left(\frac{c_p}{c_0}\right)^2 - \kappa_1 & \kappa_1 & 0 & 0 \\ \frac{\kappa_1 \alpha_1}{4\pi^2} \left(\frac{\lambda}{h}\right)^2 & \left(\frac{c_p}{c_0}\right)^2 - \alpha_0 - \frac{(\kappa_1 \alpha_1 + \alpha_2 \mu^2)}{4\pi^2} \left(\frac{\lambda}{h}\right)^2 & \frac{(\alpha_0 + \alpha_2) \mu}{4\pi^2} \left(\frac{\lambda}{h}\right)^2 & 0 \\ 0 & (\alpha_0 \beta_1 + \beta_3) \mu & \left(\frac{c_p}{c_0}\right)^2 - \left(\frac{\kappa_2 \beta_2}{2} + \beta_3\right) - \frac{\alpha_0 \beta_1 \mu^2}{4\pi^2} \left(\frac{\lambda}{h}\right)^2 & \frac{\kappa_2 \beta_2}{2} \\ 0 & 0 & \frac{\kappa_2 \gamma}{4\pi^2} \left(\frac{\lambda}{h}\right)^2 & \left(\frac{c_p}{c_0}\right)^2 - \alpha_0 - \frac{\kappa_2 \gamma}{4\pi^2} \left(\frac{\lambda}{h}\right)^2 \end{vmatrix} = 0 \quad \dots (5)$$

ニに、 $\alpha_0 = E/G$, $c_0 = (G/p)^{1/2}$, $\mu = h/R$

式(5)において、 $\mu = h/R = 0$ とおくと直線ばりの方程式が得られる。すなわち曲げ振動に対して

$$\begin{vmatrix} \left(\frac{c_p}{c_0}\right)^2 - \kappa_1 & \kappa_1 \\ \frac{\kappa_1 \alpha_1}{4\pi^2} \left(\frac{\lambda}{h}\right)^2 & \left(\frac{c_p}{c_0}\right)^2 - \alpha_0 - \frac{\kappa_1 \alpha_1}{4\pi^2} \left(\frac{\lambda}{h}\right)^2 \end{vmatrix} = 0 \quad \dots (6)$$

ねじれ振動に対して

$$\begin{vmatrix} \left(\frac{c_p}{c_0}\right)^2 - \left(\frac{\kappa_2 \beta_2}{2} + \beta_3\right) & \frac{\kappa_2 \beta_2}{2} \\ \frac{\kappa_2 \gamma}{4\pi^2} \left(\frac{\lambda}{h}\right)^2 & \left(\frac{c_p}{c_0}\right)^2 - \alpha_0 - \frac{\kappa_2 \gamma}{4\pi^2} \left(\frac{\lambda}{h}\right)^2 \end{vmatrix} = 0 \quad \dots (7)$$

式(6)は Timoshenko Beam の式と、式(7)は Aggarwal & Cranch の式¹⁾とそれぞれ一致する。

計算結果の一例として、 $b/h = 1/2$; $t_f/h = 1/25$; $t_w/h = 1/40$; $h/R = 1/5$ の場合の Phase Velocity c_p と Wave Number $1/\lambda$ との関係を 図-2 に実線で示す。図中の破線はせん断変形および回転慣性を無視した場合の値である。前者の場合には高周波振動の領域では4つの波列が振動数にはほとんど無関係に一定速度で伝播することがわかる。なおせん断係数は文献2)により $\kappa_1 = 0.373$, $\kappa_2 = 0.850$ とした。

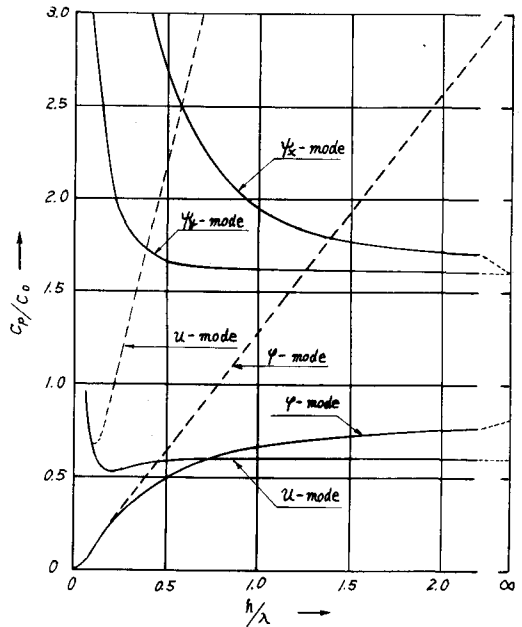


図-2 I 断面曲りばりにおける振動波の Phase Velocity.

無関係に一定速度で伝播することがわかる。なおせん断係数は文献2)により $\kappa_1 = 0.373$, $\kappa_2 = 0.850$ とした。

参考文献 1) Aggarwal, H.R. and Cranch, E.T. 1967 Journal of Applied Mechanics, 337.

2) Cowper, G.R. 1966 Journal of Applied Mechanics, 335.